

# 华中科技大学

人工智能与自动化学院

## 控制理论综合实验报告

实验项目：实验二、三

实验名称：二阶系统和高阶系统的动态性和稳态性

实验时间：2025/4/1 星期二

实验人员 1：

专业班级：人工智能 2304 班

学 号：U202315285

姓 名：许睿廷

实验人员 2：

专业班级：人工智能 2304 班

学 号：U202315265

姓 名：杜辰宇

## 一、实验目的

- 1、掌握二阶系统性能指标的测试技术；
- 2、研究二阶系统的阻尼比  $\zeta$  和无阻尼自振荡频率  $\omega$  对系统动态性能的影响；
- 3、分析系统在不同输入信号作用下的稳态误差；
- 4、观察系统稳定和不稳定的运行状态，研究开环放大系数及时间常数对系统稳定性的影响。

## 二、实验设备

- 1、STAR ACT 教学模拟机
- 2、数字示波器

## 三、实验原理

本实验分成两部分：对二阶系统在不同反馈下的瞬态响应和稳态响应的测量和分析；观察0型系统、I型系统和II型系统在在不同放大系数和输入信号下稳态误差的变化。

下面列出了每个环节的实验原理图（并在每一个电路后面连接了一个反相器），并依据结构图求出对应传递函数，进行相关性能分析。

### 3.1、二阶系统的瞬态响应

实验原理图如图 3.1 所示。

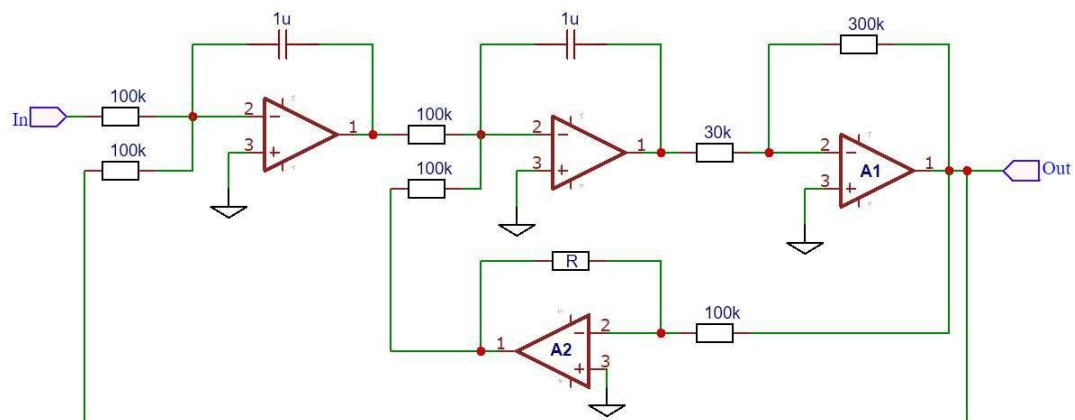


图 3.1 二阶系统原理图

由实验一中的结果可以得到：

$$\text{积分环节的传递函数: } G(s) = \frac{U_C(s)}{U_R(s)} = -\frac{1}{R_0 C s}$$

$$\text{比例环节的传递函数: } G(s) = \frac{U_C(s)}{U_R(s)} = -\frac{R_1}{R_0}$$

前向通路中有两个积分环节，一个比例环节，计算得到各自的传递函数分别为 $-\frac{1}{0.1s}$ 、 $-\frac{1}{0.1s}$ 、 $-10$ 。

回路中有一个比例环节，计算得到传递函数为 $-\frac{R}{100}k\Omega$ ，设 $\alpha = R/100k\Omega$ ，传递函数化简为 $-\alpha$ 。画出结构图如图 3.2，并计算最终的闭环传递函数为

$$G_B(s) = -\frac{-\frac{1}{0.1s} \cdot \left( \frac{\frac{1}{0.1s} \cdot 10}{1 + \frac{1}{0.1s} \cdot 10 \cdot \alpha} \right)}{1 + \frac{1}{0.1s} \cdot \left( \frac{\frac{1}{0.1s} \cdot 10}{1 + \frac{1}{0.1s} \cdot 10 \cdot \alpha} \right)} = \frac{1000}{s^2 + 100\alpha s + 1000}$$

对比二阶系统标准形式，可以求得：

$$\omega_n^2 = 1000, \quad \zeta = \frac{\sqrt{10}}{2} \alpha \approx \frac{\alpha}{0.63}$$

当 $0 < \alpha < 0.63$ ，即 $R < 63 k\Omega$ 时， $0 < \zeta < 1$ ，系统为欠阻尼状态，有振荡，且 $R$ 越小，振荡越明显。相应瞬态指标的计算和分析如下：

(1) 超调量 $\sigma\%$ ：仅随 $\zeta$ 的增大而减小，与 $\omega_n$ 无关。

$$\sigma\% = e^{-\frac{\pi\zeta}{\sqrt{1-\zeta^2}}} \times 100\%$$

(2) 峰值时间 $t_p$ ：随 $\omega_n$ 增大而增大（本实验中不变）、 $\zeta$ 的减小而减小。

$$t_p = \frac{\pi}{\omega_n \sqrt{1-\zeta^2}} = \frac{\pi}{\omega_d}$$

(3) 调整时间 $t_s$ ：随 $\zeta\omega_n$ 增大而减小。

$$t_s = \frac{3}{\zeta\omega_n} \quad (2\%)$$

当 $\alpha = 0.63$ ，即 $R = 63 k\Omega$ 时， $\zeta = 1$ ，系统为临界阻尼状态，无超调，也无振荡。

当 $\alpha > 0.63$ ，即 $R > 63 k\Omega$ 时， $\zeta > 1$ ，系统为过阻尼状态，无超调，也无振荡。

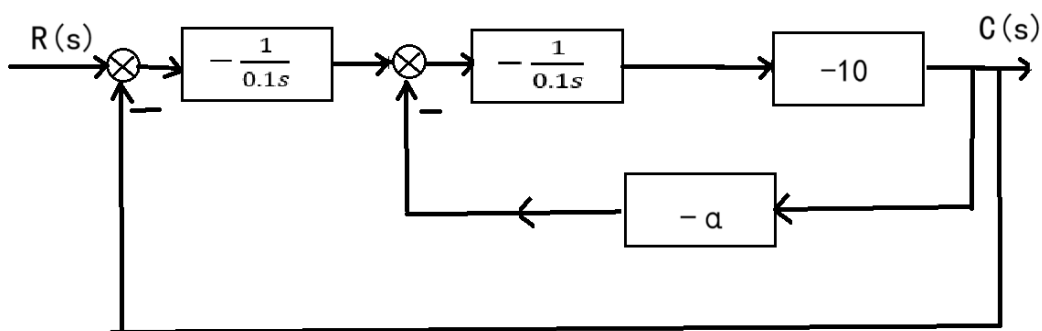


图 3.2 二阶系统结构图

## 3.2、稳态响应

分 0 型，I 型，II 型系统进行讨论。令  $K = R/100 \text{ k}\Omega$ 。

### 3.2.1、0 型系统

原理图如图 3.3 所示。

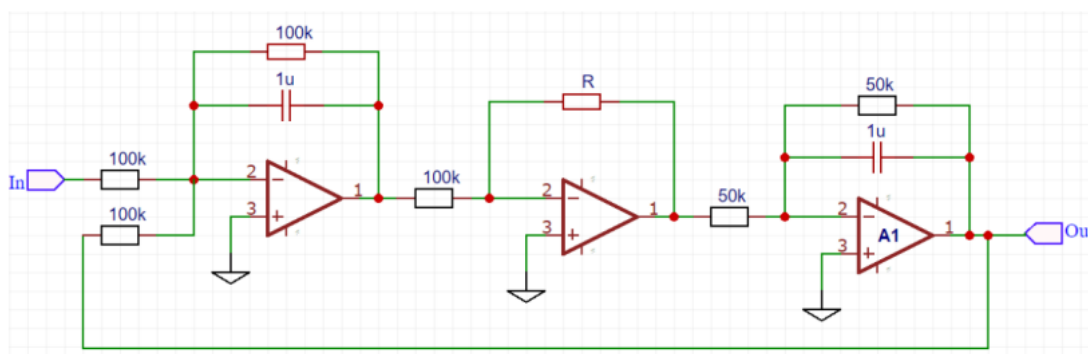


图 3.3 0 型系统原理图

由实验一中的结果可以得到：

惯性环节的传递函数：

$$G(s) = \frac{U_C(s)}{U_R(s)} = -\frac{R_1}{R_0(1 + R_1Cs)}$$

比例环节的传递函数：

$$G(s) = \frac{U_C(s)}{U_R(s)} = -\frac{R_1}{R_0}$$

前向通路中有两个惯性环节，一个比例环节，计算得到各自的传递函数分别为  $-\frac{1}{1+0.1s}$ 、 $-\frac{1}{1+0.05s}$ 、 $-K$ 。进而得到开环传递函数为：

$$G_K(s) = \frac{1}{1 + 0.1s} \cdot K \cdot \frac{1}{1 + 0.05s} = \frac{K}{(0.1s + 1)(0.05s + 1)}$$

如图 3.4 所示，误差的定义为参考输入信号和反馈信号的差值：

$$e_{ss} = e(\infty) = \lim_{t \rightarrow \infty} e(t) = \lim_{t \rightarrow \infty} [r(t) - b(t)]$$

利用拉氏变换的终值定理，我们可以得到稳态误差的计算式：

$$e_{ss} = \lim_{s \rightarrow 0} sE(s) = \lim_{s \rightarrow 0} s \frac{R(s)}{1 + G(s)H(s)}$$

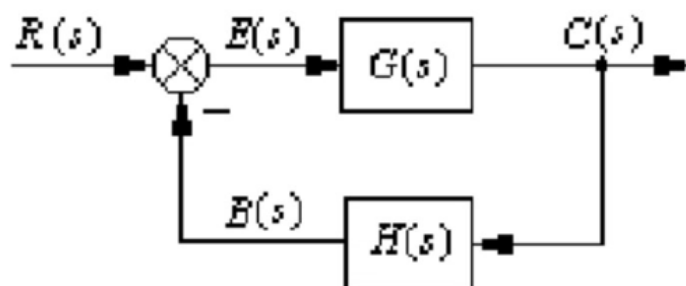


图 3.4 计算稳态误差系统结构图

带入 0 型系统的开环传递函数，我们可以得到单位阶跃输入的稳态误差为

$$e_{ss0} = \frac{1}{1+K}$$

随  $K$  增大， $e_{ss0}$  减小，而单位斜坡输入的稳态误差为

$$e_{ss0} = \infty$$

### 3.2.2、I型系统

原理图如图 3.5 所示。

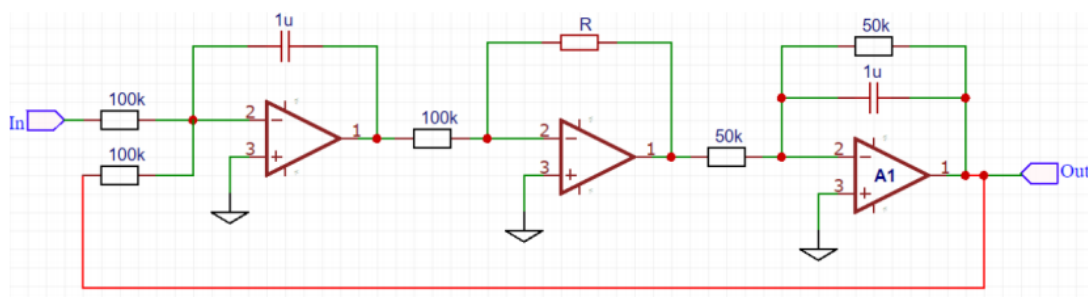


图 3.5 I型系统原理图

由实验一中的结果可以得到：

积分环节的传递函数：

$$G(s) = \frac{U_C(s)}{U_R(s)} = -\frac{1}{R_0Cs}$$

比例环节的传递函数：

$$G(s) = \frac{U_C(s)}{U_R(s)} = -\frac{R_1}{R_0}$$

惯性环节的传递函数：

$$G(s) = \frac{U_C(s)}{U_R(s)} = -\frac{R_1}{R_0(1 + R_1Cs)}$$

$I$ 型系统前向通路中有一个积分环节、一个比例环节、一个惯性环节，计算得到各自的传递函数分别为 $-\frac{1}{0.1s}$ 、 $-K$ 、 $-\frac{1}{1+0.05s}$ 。进而得到开环传递函数为：

$$G_K(s) = \frac{1}{0.1s} \cdot K \cdot \frac{1}{1+0.05s} = \frac{10K}{s(0.05s+1)}$$

按照 0 型系统中的运算，我们可以得到单位阶跃输入下的稳态误差为

$$e_{ss1} = 0$$

，单位斜坡输入下的稳态误差为

$$e_{ss1} = \frac{1}{10K}$$

随着开环放大系数 $K$ 的增大，稳态误差 不断减小。

### 3.2.3、II型系统

原理图如图 3.6 所示。

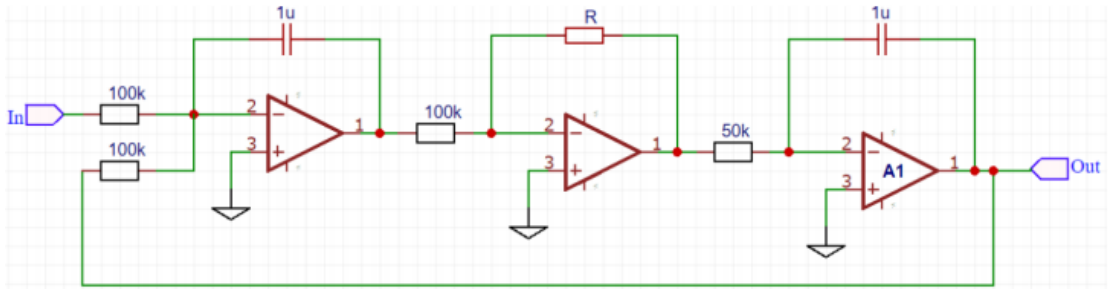


图 3.6 II型系统原理图

由实验一中的结果可以得到：

积分环节的传递函数：

$$G(s) = \frac{U_C(s)}{U_R(s)} = -\frac{1}{R_0Cs}$$

比例环节的传递函数：

$$G(s) = \frac{U_C(s)}{U_R(s)} = -\frac{R_1}{R_0}$$

$I$ 型系统前向通路中有两个积分环节、一个比例环节计算得到各自的传递函数分别为 $-\frac{1}{0.1s}$ 、 $-K$ 、 $-\frac{1}{0.05s}$ 。进而得到开环传递函数为：

$$G_K(s) = \frac{1}{0.1s} \cdot K \cdot \frac{1}{0.05s} = \frac{K}{0.005s^2}$$

按照 0 型系统中的运算，单位阶跃输入和单位斜坡输入的稳态误差均 $e_{ss} = 0$ ，但计算得到其闭环传递函数为 $G_B(s) = \frac{K}{0.005s^2+K}$ ，我们发现此时特征根为一对共

轭纯虚根 $s_{1,2} = \pm j\sqrt{200K}$ ，系统不稳定。

## 四、实验内容与步骤

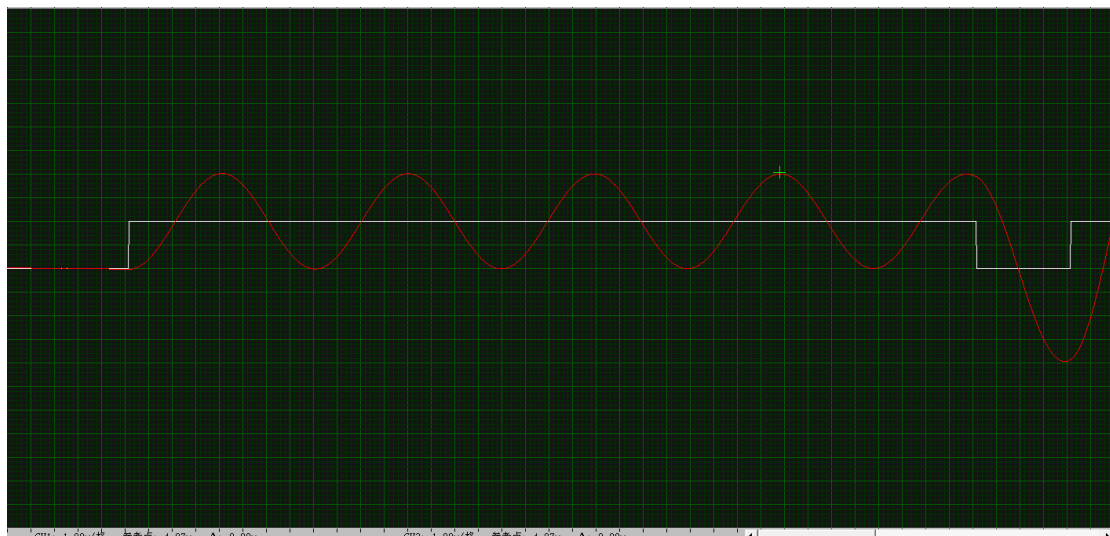
1. 断开电源，按参考电路组成二阶系统；
2. 检查连线，确诊无误后闭合电源，使 $K=10$ （A1 放大器的放大系数），并保持输入矩形波幅值不变，依照要求逐次改变 $\alpha=R/100\text{ k}\Omega$ ，记录 $\sigma\%$ ， $t_p$ ， $t_s$ 数据（注意： $\alpha=0$ 情况下的意思是内反馈不接入电路）。
3. 断开电源依次按参考电路组成 0 型，I 型，II 型系统（ $R$ 使用 D5 区阻容元件， $R \geq 100\text{ k}\Omega$ ）。
4. 分别改变 0，I 型系统的放大系数（即改变电位器的电阻值），观察 0、I、II 型系统在阶跃信号和斜坡信号输入时的稳态误差有何变化，并记录在表中。

## 五、实验结果和分析

给出不同环节的输入（白色）、输出（红色）波形。

### 5.1、二阶系统的瞬态响应

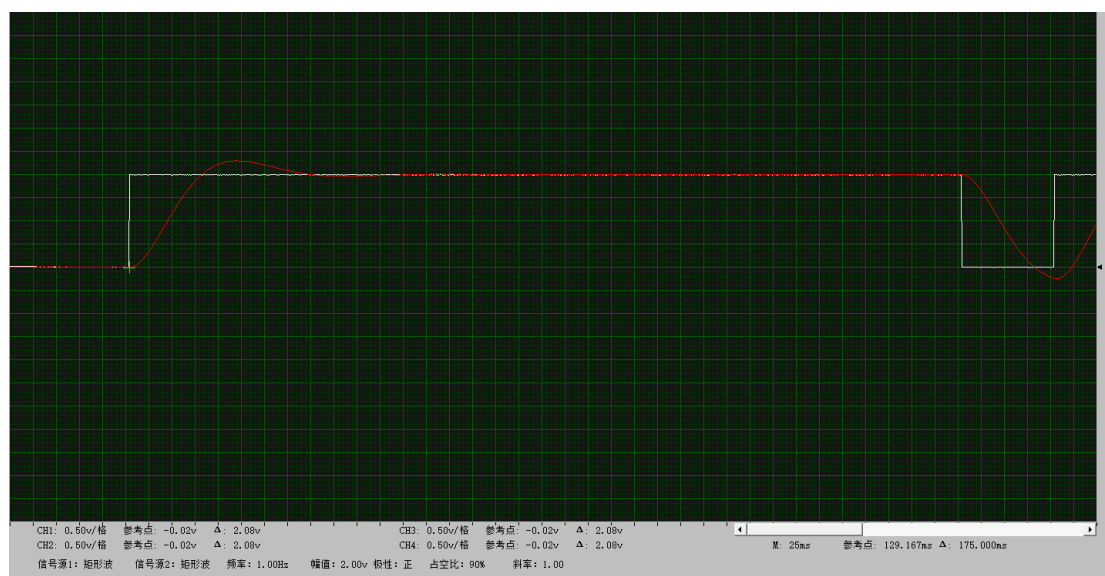
$\alpha$ 变化时，输出波形如图 5.1 所示。



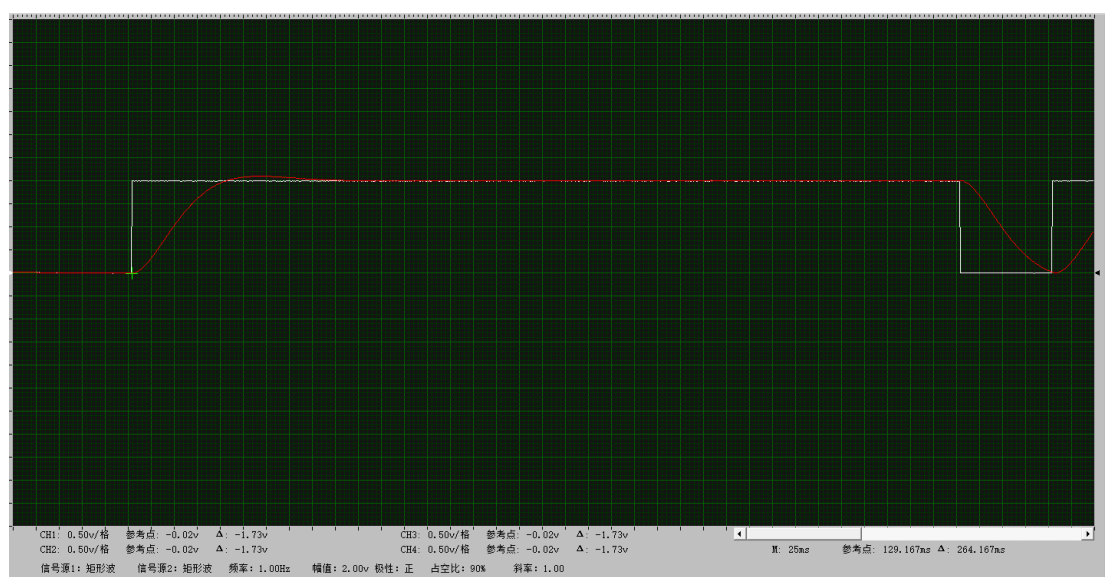
(a)  $\alpha=0$



(b)  $\alpha=0.13$

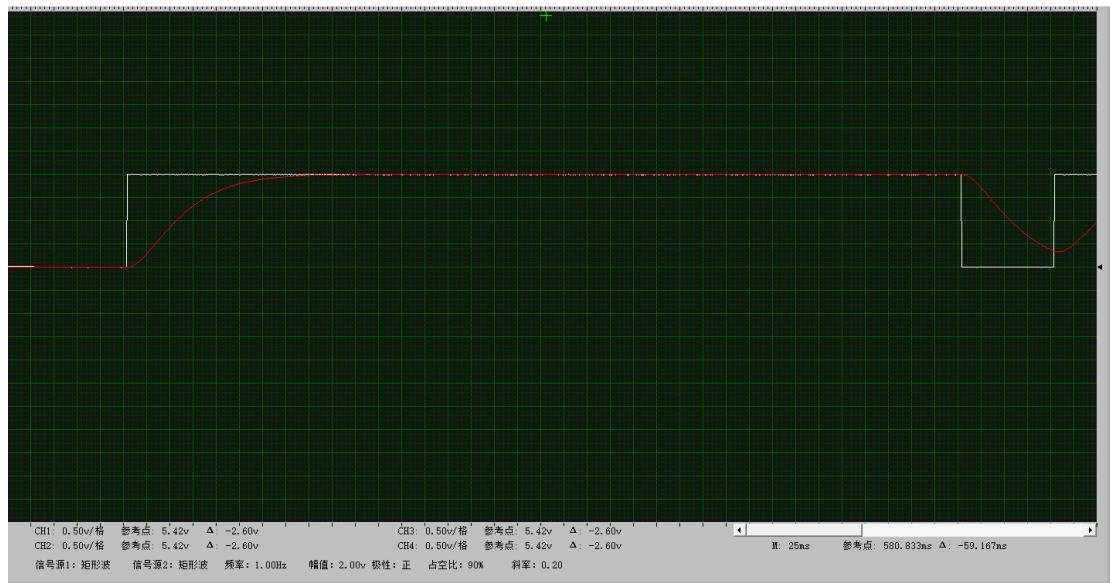


(c)  $\alpha=0.33$





(d)  $\alpha=0.44$



(e)  $\alpha=0.63$

图 5.1 二阶系统瞬态响应曲线

由图可测得系统瞬态响应的相关指标，并与计算出来的结果一并列在表 5.1 中。

表 5.1 二阶系统瞬态响应指标测量

$\alpha$		$\omega_n$	$\zeta$	$\omega_d$	$\sigma\%$	$t_p/ms$	$t_s/ms$
0	计算值	31.632	0	31.632	/	/	/
	实验值	/		/			
0.13	计算值	31.632	0.206	30.945	51.62	101.52	461.54
	实验值	/	/	/	48.5	100.00	352.10
0.33	计算值	31.632	0.524	26.934	14.47	116.64	181.82
	实验值	/	/	/	15.20	110.0	175.00
0.44	计算值	31.632	0.698	22.645	4.68	138.73	136.36
	实验值	/	/	/	6.0	135.8	164.1
0.63	计算值	/	1	0	0	/	/
	实验值	/	/	/	0	/	152

误差分析：

当 $\alpha=0.13$ 时，

$$\text{超调量}\sigma\text{的误差: } \frac{|\sigma_{\text{实验值}} - \sigma_{\text{计算值}}|}{\sigma_{\text{计算值}}} * 100\% = 6.0\%;$$

峰值时间 $t_P$ 的误差： $\frac{|t_{P\text{实验值}}-t_{P\text{计算值}}|}{t_{P\text{计算值}}} * 100\% = 1.5\%$ ;

调节时间 $t_s$ 的误差： $\frac{|t_{s\text{实验值}}-t_{s\text{计算值}}|}{t_{s\text{计算值}}} * 100\% = 23.7\%$ ,

其中，调节时间的误差较大。

当 $\alpha=0.33$ 时，

超调量 $\sigma$ 的误差： $\frac{|\sigma_{\text{实验值}}-\sigma_{\text{计算值}}|}{\sigma_{\text{计算值}}} * 100\% = 5.0\%$ ;

峰值时间 $t_P$ 的误差： $\frac{|t_{P\text{实验值}}-t_{P\text{计算值}}|}{t_{P\text{计算值}}} * 100\% = 5.7\%$ ;

调节时间 $t_s$ 的误差： $\frac{|t_{s\text{实验值}}-t_{s\text{计算值}}|}{t_{s\text{计算值}}} * 100\% = 3.7\%$ ,

其中，三项指标的误差均在5%左右。

当 $\alpha=0.44$ 时，

超调量 $\sigma$ 的误差： $\frac{|\sigma_{\text{实验值}}-\sigma_{\text{计算值}}|}{\sigma_{\text{计算值}}} * 100\% = 28.2\%$ ;

峰值时间 $t_P$ 的误差： $\frac{|t_{P\text{实验值}}-t_{P\text{计算值}}|}{t_{P\text{计算值}}} * 100\% = 2.1\%$ ;

调节时间 $t_s$ 的误差： $\frac{|t_{s\text{实验值}}-t_{s\text{计算值}}|}{t_{s\text{计算值}}} * 100\% = 20.3\%$ ,

其中，超调量和调节时间的误差均很大。

分析可知，随着 $\alpha$ 值的增大，超调现象愈发的不明显同时，超调量的误差越大。这是由于理论值的减小下，测量所产生的误差相近下，权重会增加。针对调节时间的误差一直很大的情况进行分析，可能是由于电路连接中所用的原件与标识的大小不符，或者接线不良，导致误差一直很大。

## 实验结果分析：

通过图示可以观察到系统瞬态响应的相关指标。当自然频率 $\omega_n$ 保持不变时， $\alpha$ 的增大仅仅带动阻尼比  $\xi$  的增大。随着阻尼比  $\xi$  的逐渐增大，系统从无阻尼状态逐渐过渡到欠阻尼、临界阻尼，最终进入过阻尼状态。随着阻尼比  $\xi$  的增大，系统响应的振荡现象逐渐减弱：当  $\alpha=0.13$  时，响应曲线（b）表现出明显的振荡；而随着  $\alpha$  的进一步增大，响应曲线（c）和（d）的振荡现象逐渐减弱直至消失。同时，根据定义，超调量  $\sigma$  随  $\xi$  的增大而减小，峰值时间  $t_P$  随  $\xi$  的增大而增大，而调节时间  $t_s$  则随  $\xi$  的增大而减小。

## 无阻尼状态（ $\xi=0$ ）

当  $\xi=0$  时，系统处于无阻尼状态。此时系统的输出响应表现为无阻尼的等幅振荡，振荡频率为  $\omega_n$ 。由于振幅恒定，系统无法收敛到稳态值，因此在这种情况下没有稳态性能指标。

### 欠阻尼状态 ( $0 < \xi < 1$ )

当  $0 < \alpha < 0.63$  时, 系统处于欠阻尼状态。根据超调量  $\sigma$ 、峰值时间  $t_p$  和调节时间  $t_s$  的定义, 可以推导出以下关系:

**超调量  $\sigma$ :** 仅与阻尼比  $\xi$  有关,  $\alpha$  越大,  $\xi$  越大, 超调量  $\sigma$  越小。

**峰值时间  $t_p$ :** 根据所学公式有  $\omega_d = \omega_n \sqrt{1 - \xi^2}$ 。因此峰值时间  $t_p$  与阻尼振荡频率成反比。当  $\omega_n$  固定时,  $\alpha$  越大,  $\xi$  越大,  $\omega_d$  越大, 峰值时间  $t_p$  越短。

**调节时间  $t_s$ :** 定义为响应曲线从零开始进入稳态值  $\pm 5\%$  误差带所需的时间。通过输出响应方程可得:

$$t_s = -\frac{1}{\xi \omega_n} \ln(0.05 \sqrt{1 - \xi^2})$$

当  $0 < \xi < 0.9$  时, 可近似为  $t_s = \frac{3}{\xi \omega_n} (5\%)$ 。因此,  $t_s$  与  $\xi$  成反比,  $\alpha$  越大,  $\xi$  越大, 调节时间  $t_s$  越短。

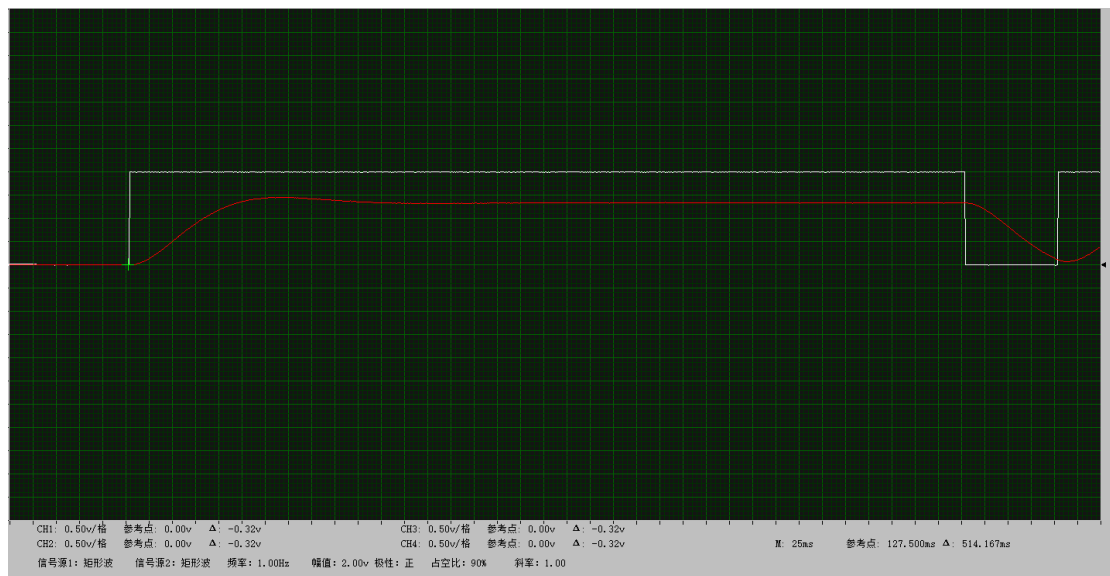
### 临界阻尼状态 ( $\xi=1$ )

当  $\alpha=0.63$  时, 阻尼比  $\xi=1$ , 系统处于临界阻尼状态。此时系统的输出响应无超调、无振荡, 表现为从零开始的单调上升过程, 最终收敛到稳态值 1, 且不存在稳态误差。由于临界阻尼状态下系统无振荡, 无法分析。

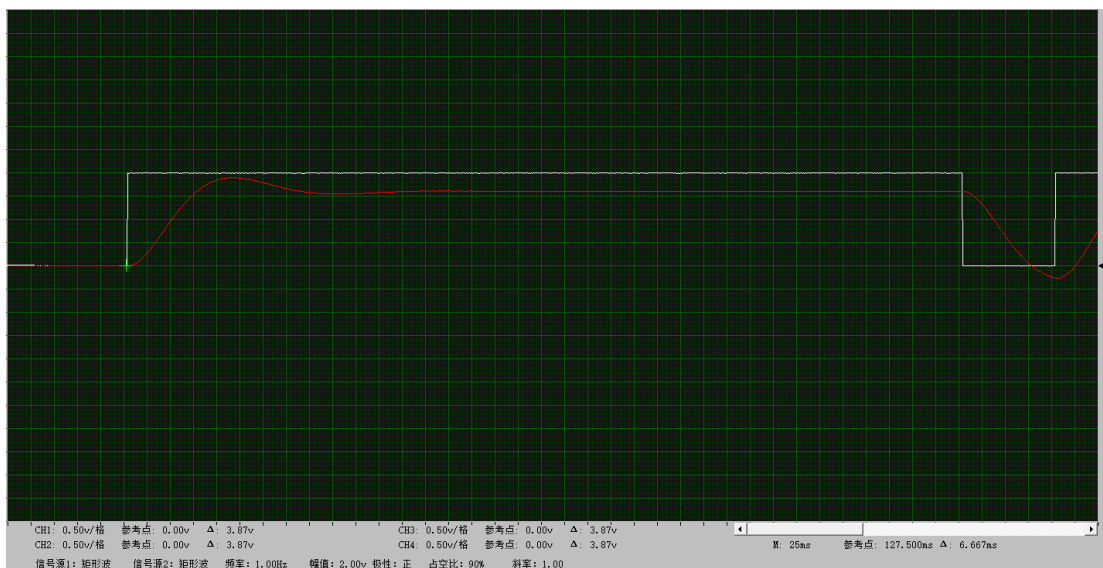
## 5.2、 稳态响应

测量出三种系统对阶跃、斜坡输入信号的输出波形。阶跃信号输入的幅值为  $2V$ 。

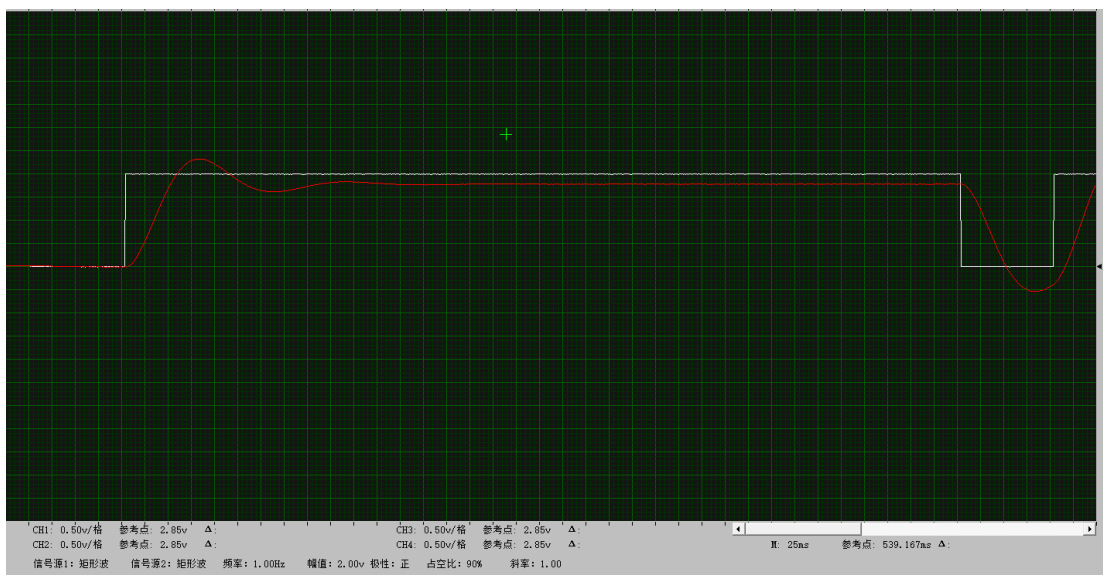
➤ **0 型系统。** 改变  $R$  及输入时, 波形如图 5.2 所示。



(a) 阶跃输入,  $R = 200 \text{ k}\Omega$



(b) 阶跃输入， $R = 400\text{ k}\Omega$



(c) 阶跃输入， $R = 800\text{ k}\Omega$



(d) 斜坡输入， $R = 200\text{ k}\Omega$



(e) 斜坡输入， $R = 400\text{ k}\Omega$



(f) 斜坡输入， $R = 800\text{ k}\Omega$

图 5.2 0 型系统稳态曲线

记录0型系统下的数据如下表所示：

表 5.2 0 型系统稳态误差 $e_{ss0}$

R ( $k\Omega$ )	开环放大系数 K	阶跃输入稳态误差		斜坡输入稳态误差	
		测量值	理论值	测量值	理论值
200	2	0.7	0.67	$\infty$	$\infty$
400	4	0.4	0.2	$\infty$	$\infty$
800	8	0.22	0.111	$\infty$	$\infty$

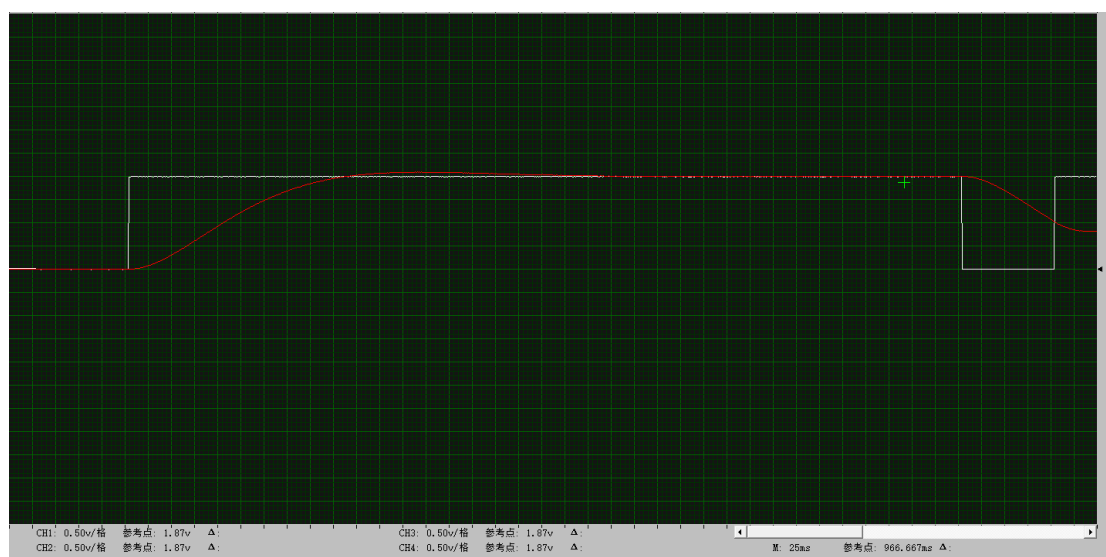
实验现象：

图 5.2 展示了 0 型系统在不同开环放大系数  $K$  和两种输入方式（阶跃输入和斜坡输入）下的响应波形。从图中可以看出：

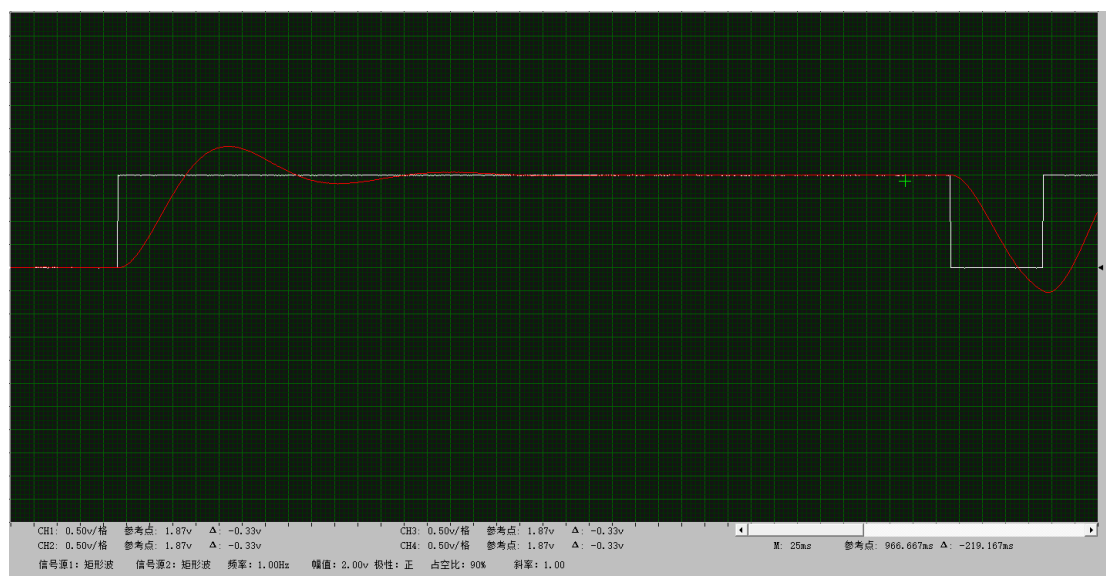
当输入信号是阶跃信号时，系统的稳态误差会随着  $K$  的增大而逐渐减小。这说明适当提高  $K$  值确实能在一定程度上改善系统的稳态性能，然而当输入信号是斜坡信号时，即使  $K$  不断增大，系统的稳态误差仍然保持无穷大。这表明，仅靠增大  $K$  值无法彻底解决稳态误差的问题。因此想要减小稳态误差，必须通过增加系统的积分环节来实现。

### ➤ I型系统

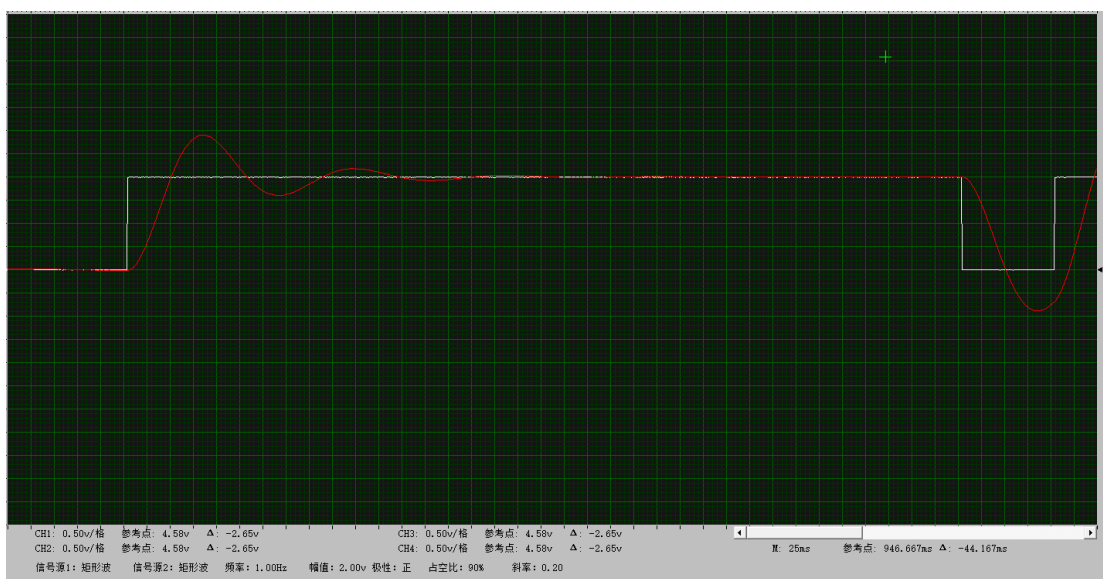
改变 $R$ 及输入时，波形如图 5.3 所示。



(a) 阶跃输入， $R = 100\text{ k}\Omega$



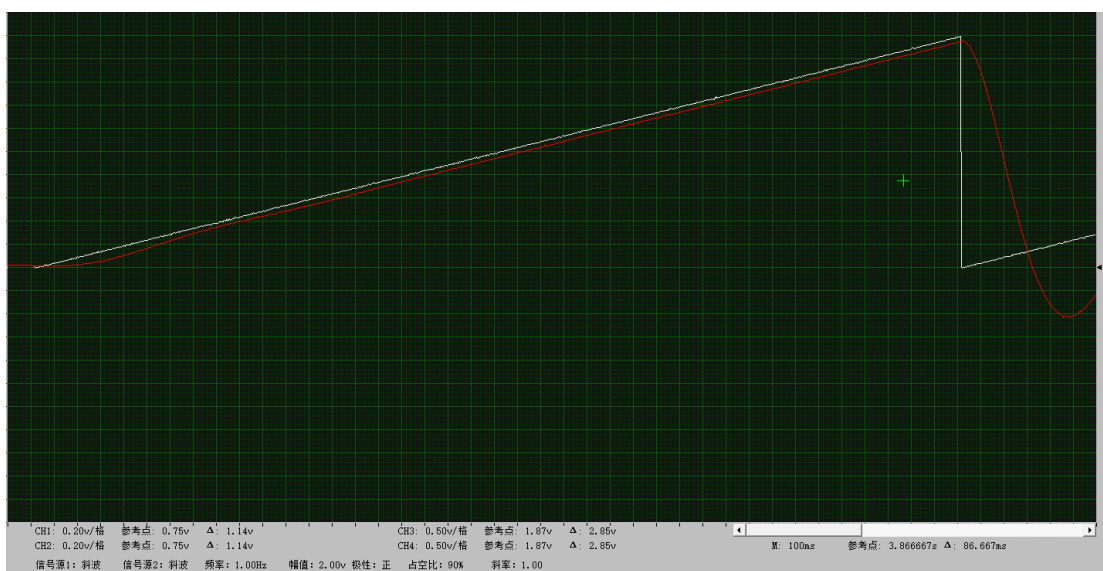
(b) 阶跃输入， $R = 400\text{ k}\Omega$



(c) 阶跃输入， $R = 800\text{ k}\Omega$

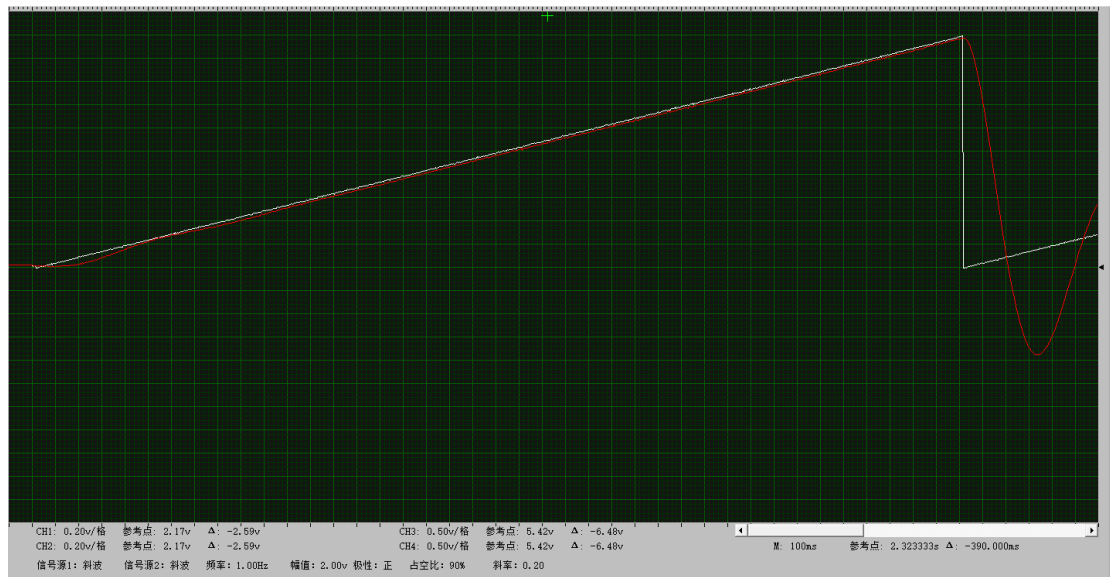


(d) 斜坡输入， $R = 100\text{ k}\Omega$





(e) 斜坡输入， $R = 400\text{ k}\Omega$



(f) 斜坡输入， $R = 800\text{ k}\Omega$

图 5.3 I型系统稳态曲线

记录I型系统下的数据如下表所示：

表 5.3 I 型系统稳态误差 $e_{ss0}$

R ( $\text{k}\Omega$ )	开环放大系数 K	阶跃输入稳态误差		斜坡输入稳态误差	
		测量值	理论值	测量值	理论值
200	2	0	0	0.22	0.05
400	4	0	0	0.15	0.025
800	8	0	0	0.07	0.0125

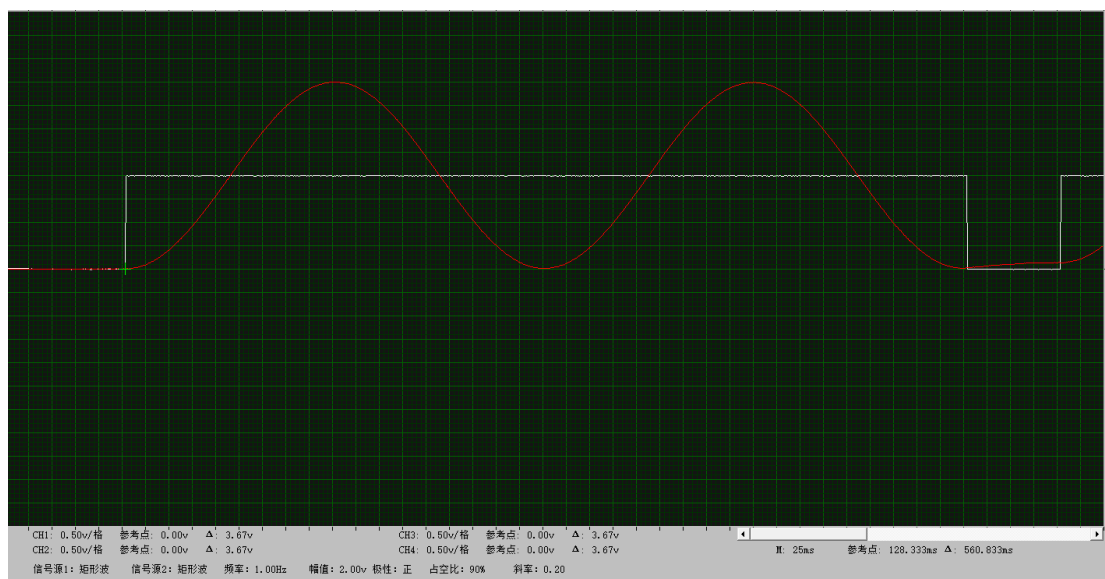
1 型系统在不同开环放大系数  $K$  和两种输入方式（阶跃输入和斜坡输入）下的响应波形。从图中可以观察到以下现象：

当输入信号为阶跃信号时，系统的稳态误差为零。这表明通过增加系统的积分环节，稳态性能得到了显著改善。但当输入信号为斜坡信号时，随着开环放大系数  $K$  的增加，稳态误差有所减小，但减小的幅度相对较小。这说明虽然增大  $K$  值可以在一定程度上改善稳态性能，但其效果有限。

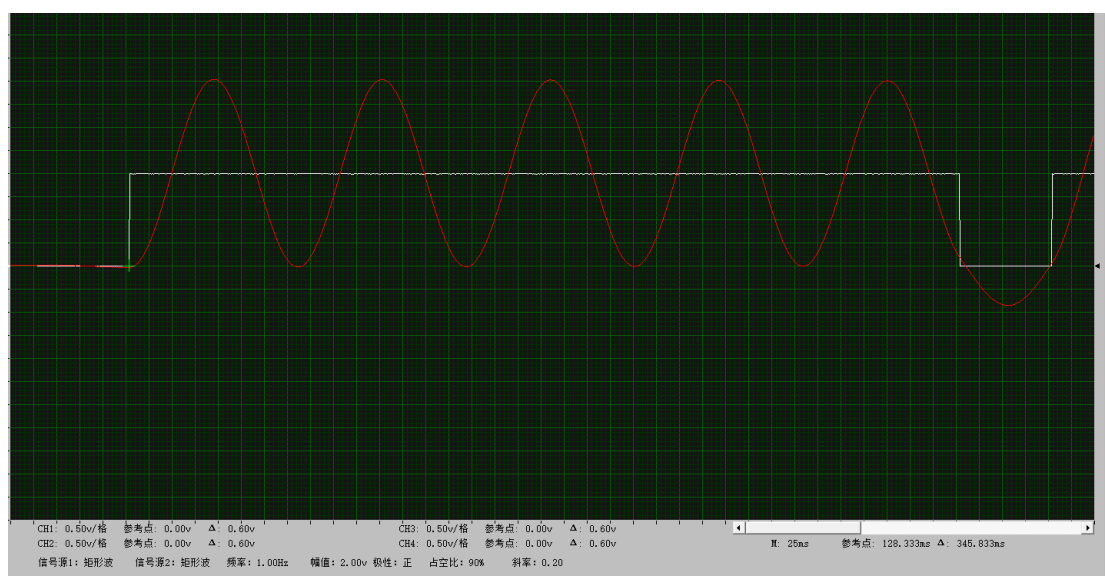
### ➤ II型系统

改变 $R$ 及输入时，波形如图 5.4 所示。

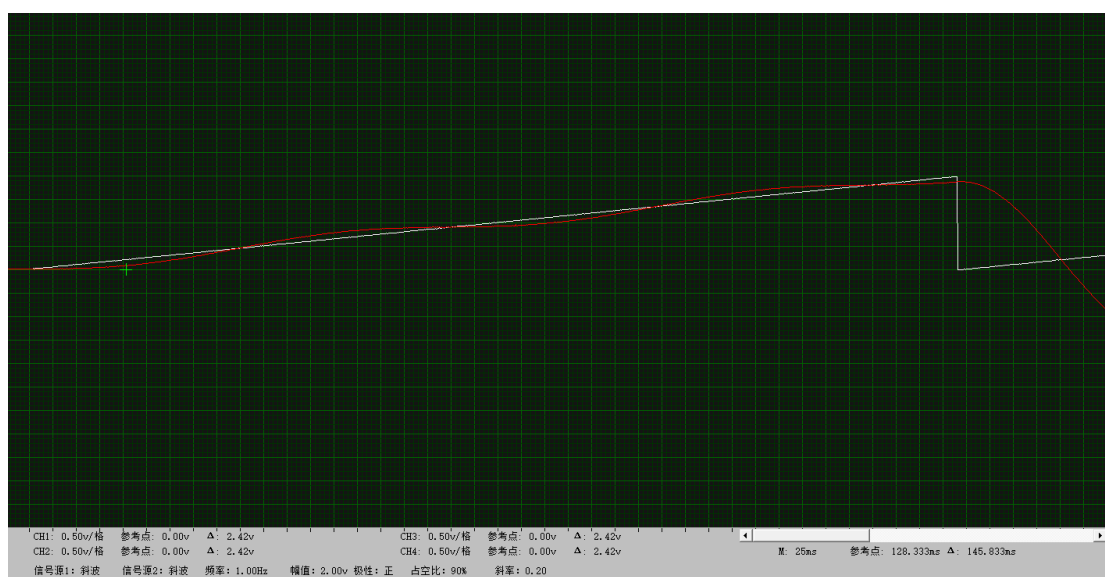




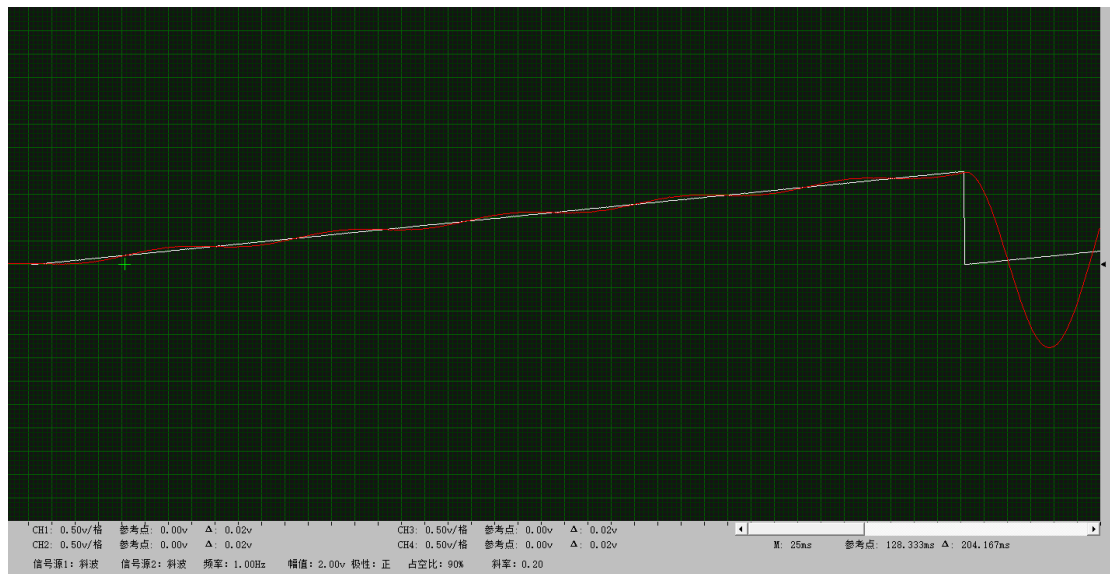
(a) 阶跃输入,  $R=100\text{ k}\Omega$



(b) 阶跃输入,  $R=600\text{ k}\Omega$



(c) 斜坡输入,  $R=100\text{ k}\Omega$



(d) 斜坡输入,  $R=600\text{ k}\Omega$

图 5.4 II型系统稳态曲线

二型系统是一个不稳定系统, 由图像可知, 在阶跃信号下, 二型系统的输出响应为等幅振荡曲线, 因此一味地增加积分环节为使得稳态误差减小会使系统变得不稳定, 是不可行的。

综上, 0 型系统在阶跃输入下, 稳态误差由公式  $e_{ss} = \frac{1}{1+K}$  决定, 其中  $K$  是开环放大系数。稳态误差与  $K$  成反比,  $K$  越大, 误差越小, 但由于系统中没有积分环节, 误差无法完全消除。在斜坡输入下, 0 型系统无法跟踪输入信号, 稳态误差为无穷大。

1 型系统在阶跃输入下, 稳态误差为零, 表明系统能够完全跟踪输入信号。但在斜坡输入下, 稳态误差  $e_{ss} = \frac{1}{K}$ , 与开环放大系数  $K$  成反比, 存在一定的误差。通过增大  $K$  可以减小误差, 但无法完全消除。

进一步推进, 理论上, 2 型系统应该能够消除阶跃和斜坡输入下的稳态误差。但事实是, 任一信号, 系统都会出现振荡且无法稳定。这表明, 虽然增加积分环节可以消除稳态误差, 但也可能破坏系统的稳定性。

## 五、实验小结

先谈谈实验中遇到的问题:

首先，在实验过程中，经常遇到线路原理相同，但更换线路形态时，无法得到输入输出图像无法呈现的情况。这个问题在多次调节幅值和频率后，我们选取了合适的值使得示波器能显示出我们想要的图像。

同时，我们也遇到了在斜坡输入条件下，输入输出曲线十分接近，无法测得误差的情况。经过多次调整幅值，我们才得到既能读出误差，又能使图像很好的展现在示波器上的值。

再来谈谈对系统，参数相互控制关系的理解：

实验一中，主要了解二阶系统的阻尼比  $\zeta$  和无阻尼振荡系数  $\omega_n$  对系统的稳态性能指标（超调量，峰值时间，调节时间）的影响。这些影响主要在欠阻尼情况下呈现，我们通过实验验证了规律：

- (1)  $\omega_n$  不变时， $\zeta$  越大，峰值时间  $t_p$  越大。
- (2) 超调量  $\sigma_p$  是一个只与阻尼比  $\zeta$  有关的函数。
- (3) 调节时间  $t_s$  近似与  $\zeta\omega_n$  成反比。

实验二中，我们进一步控制积分环节的数量，探究其与稳态误差的关系。得到增大开环放大系数  $K$  在一定程度上可以减小稳态误差，但不能完全消除；而增加积分环节的个数则可以消除一些输入信号下的稳态误差，但系统随着积分环节的增加，系统会变得不稳定。因此在实际的工程应用中，我们需要同时考虑误差的大小和系统的稳定性，以达到想要的结果。